

津波の陸上越上に関する実験

東北大学生員 ○荒井 唯
東北大工学部 正員 岩崎敏夫
東北大工学部 正員 真野 明

1. はじめに

津波の陸上越上現象を明らかにするには、津波災害を研究し、防災対策を考えるときの基礎となるものである。近年、津波の陸上越上を扱った数値計算がいくつか提案され、そのモデルの精度についての評価も、計算越上高と理論最大越上高の比を考慮するという形で、一次元について行なわれている¹⁾。また、平面二次元の水理実験と数値計算との比較も行なわれてきており²⁾。周期が長い波であれば数値実験はかなり良く水理現象を再現することがわかつてきている。問題は短い周期の波についてであり、物理的には、碎波現象を含む領域である。本論文は、このような領域について、一次元の数値実験・水理実験を行って検討した結果を報告するものである。

2. 数値計算と理論解の比較

数値計算方法は、非線形浅水理論式を鉛直方向に積分した長波の方程式を基礎方程式とし、Leap-frog scheme正用いて解く。陸側での波先端での境界条件は、岩崎・真野の方法によった。計算条件をFig. 1に示す。

この計算法の精度については後藤・首藤が無次元パラメータ $\Delta X / S g T^2$ を用いて検討しており、これが 10^{-3} 以上で理論解との誤差が大きくなることを指摘している。本研究では、この領域を再検討し、これを非碎波と碎波に分類した。

Fig. 2 は、非碎波の場合であり、 $T = 480$ 秒、 $S = 1/100$ 、 $\Delta X = 50$ m の場合の空間波形と、最大越上時と引き波時にについて、オイラー流の理論解と比較した。この結果、数値解の誤差は先端のメッシュに現れ、これはメッシュを細くすれば小さくなることが確認できる。また、参考のために、ラグランジュ流の理論解を破線で示した。この解では、先端ではオイラー流のものと一致するが、他では差異を示す。

Fig. 3 は、碎波する場合であり、 $T = 240$ 秒、 $S = 1/100$ 、 $\Delta X = 50$ m の場合の、第1波が越上した後の30秒毎の空間波形である。第1波からもぐり流れと、第2波押波によって、波前面が急勾配となり、立上がり部分では格子間隔 ΔX の2倍の波長を持つ振動が起っていることがわかる。この振動は、汀線近くで消えている。

ここで、数値解析における碎波(段波)の発生は、Fig. 4 に示すように、首藤の碎波限界³⁾と、それがいいに分離される。図中の△は、碎波を、○は非碎波を示し、Lは外海波長である。

3. 水理実験と数値計算との比較

津波実験用大型平面水槽 ($15 \times 50 \times 0.9$ m) を、Fig. 5 の様に仕切り、全長 36.92 m、幅 0.9 m、深さ 0.9 m の水路とした。この水路の一端は、長周期造波装置の吐出口に接続し、他端は、 $1/10$ 、 $1/30$ の一様勾配斜面とした。この斜面に対して、周期 8 秒と 10 秒の正

計算条件
株子長 ΔX : $50, 100, 200$ m
鉛直高さ S : $1/30, 1/10, 1/100$
入射波周期 T : $240, 360, 480, 600$ sec
外海波長 L : $30, 60, 90$ m
入射波高さ A : $1 - 2$ cm



Fig. 1

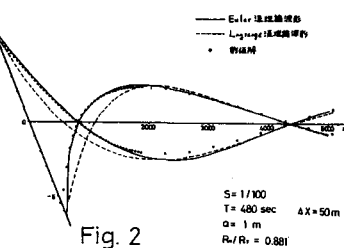


Fig. 2

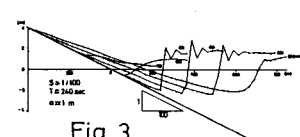


Fig. 3

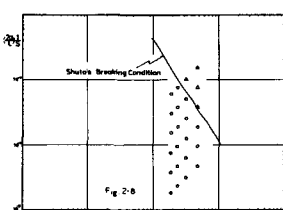


Fig. 4

弦的波を入射させた。測定は、抵抗線式波高計6台と、汀線付近の水面形を得るために、モータードライブカメラも用いて行なった。また、斜面上での最大越上高は、目測した。波高計6台で、No. 1～No. 6 とし、No. 1 と No. 2 は、水平床部での入射波を記録し、No. 3 は、斜面法先、No. 4～No. 6 は、斜面上での水面変位を記録することにした。また、汀線付近の写真には、時計を写しつみ、波高計データと時刻を一致させることができるようにした。

Fig. 6 は、入射波の例を示す。図中の、(a) は波高計 No. 1、(b) は No. 2 の波高記録であり、(c) は、(b) の時間軸上で逆転して(a) から引いた値であり、反射波の大きさに対応している。造波開始後 20 秒程度は、この反射波が小さく、正弦波が入射していることを示している。ここで、No. 1、No. 2 間の距離を、長波の波速で割ったものである。

数値計算は、実験水路の地形を模擬し、波高計 No. 1 で得た水面変位データと、冲側境界で強制水位入力して行なった。

Fig. 7 は、斜面勾配 1/10、入射波周期 10 秒の場合であり、Fig. 7-1 は各波高計位置での水位の時間変化を示している。実線が水理実験結果、破線が数値計算結果を示す。計算結果は、波高、位相とともに水理実験結果と良く合っている。Fig. 7-2 は越上時の空間波形であり、各時刻で、水面形が少しづつ異なるが、概して水理現象を良くシミュレートしていると考えられる。

Fig. 8 は、斜面勾配 1/30、入射波周期 10 秒の場合であり、このケースでは、碎波が起きていている。Fig. 8-1 は時間波形であり、No. 6 の波高計は、碎波柱の波を記録して、 $t = 6.1$ 秒で急が立ち上がりを示している。数値計算でもここでは、波形が急激に上昇していることを示している。Fig. 8-2 は空間波形であり、水理実験の碎波を数値計算がかなり良く再現しているといよいよ。

Fig. 9 は、越上高について、理論・水理実験・数値計算の三者を比較したものである。図で、実線は理論、○は水理実験、□は数値計算を示している。非碎波の場合には、三者の値は良く一致するが、碎波すると、水理実験値は非常に小さくなり、数値計算もある程度この傾向を示している。

4. おわりに

津波の陸上越上計算について検討を行ない、非碎波の場合には水理実験との比較からも、その有效性が示された。また、碎波後については、なお検討が必要であると考えられる。最後に、本研究を行なうにあたり、東北大学生学部4年吉田行伸君より多大なる協力を得ました。また、本研究は昭和56年度科研費（代表者堀川清司教授）の補助を受けた。ここに記して感謝致します。（参考文献）1) 後藤・首藤: 27回海講。2) 岩崎・真野・西宮: 28回海講。3) 首藤: Coastal Eng. in Japan, 1972.

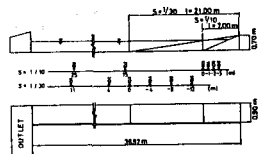


Fig. 5

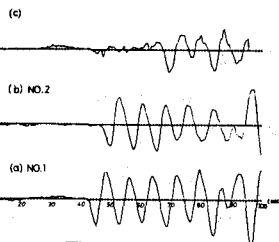


Fig. 6

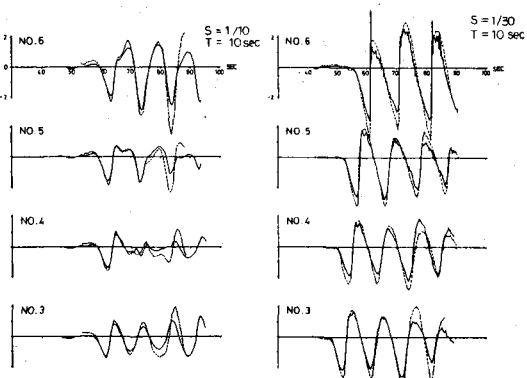


Fig. 7-1

Fig. 8-1

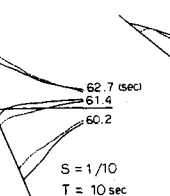


Fig. 7-2

Fig. 8-2

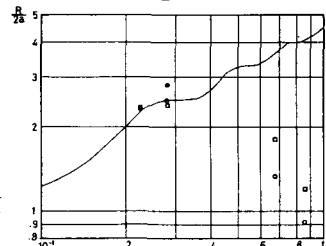


Fig. 9